

## تحلیل دینامیکی و ژنتیکی رسوبات بادی به منظور تعیین منشأ و منبع ماسه (مطالعهٔ موردی: ارگ جدید رضاآباد، سبزوار)

ناصر مشهدی - استادیار مرکز تحقیقات بین‌الملی بیابان، دانشگاه تهران، تهران، ایران  
سادات فیض‌نیا - استاد دانشکده منابع طبیعی، پردیس کشاورزی و منابع طبیعی دانشگاه تهران، تهران، ایران  
صغری عبدی - کارشناس ارشد همزیستی با بیابان، دانشگاه تهران، تهران، ایران

تاریخ دریافت: ۱۳۹۶/۱۲/۱۵      تاریخ پذیرش: ۱۳۹۷/۱۲/۱۵

### چکیده

طی شصت سال گذشته، تجمعي از تپه‌های ماسه‌ای (ارگ) با مساحت حدود ۶۰۰ هکتار در رضا آباد خارتوران ایجاد شده است. هدف از این تحقیق تفسیر منبع و منشأ ماسه بر پایه ویژگی‌های مورفولوژی تپه‌های ماسه‌ای و دانه‌بندی و کانی‌شناسی رسوبات بادی است. تفسیر تصاویر ماهواره نشان داد که ارگ رضا آباد دارای تپه‌های هلالی شکل ابتدایی شامل اشکال پیش‌بارخانی، تپه‌های بارخانی، و بارخانوئید با کشیدگی شمال-جنوب است. پس می‌توان نتیجه گرفت که وزش باد شکل‌دهنده شمالی-جنوبی است. آنالیز دانه‌بندی با روش متداول الک خشک و کانی‌شناسی به‌وسیله میکروسکوپ بینوکولر مطالعه شد. نتایج نشان داد که کشیدگی و فرم تپه‌ها از الگوی گل‌طوفان بیرونی می‌کند. در نتیجه، باد قوی شمالی مهم‌ترین باد در تأمین ماسه و توسعه تپه‌های ماسه‌ای است. آنالیزهای آماری توزیع اندازه دانه نشان داد که میانگین و میانه قطر اندازه ذرات ۲۰۵ میکرومتر هستند که می‌توان براساس رابطه بین اندازه دانه و مسافت طی شده استدلال کرد که تغییرات مکانی این ذرات ۲۰ تا ۵۰ کیلومتر از منابع ماسه است. وجود کلسیت و ماسه‌سنگ کوارتزی در نمونه‌های رسوب نشان می‌دهد که واحدهای سنگی آهک مارنی و مارن و کنگلومرا آتش‌فشاری منشأی برای رسوبات بادی است.

واژگان کلیدی: ارگ، پیش‌بارخانی، تپه ماسه‌ای، دانه‌بندی، رسوبات بادی.

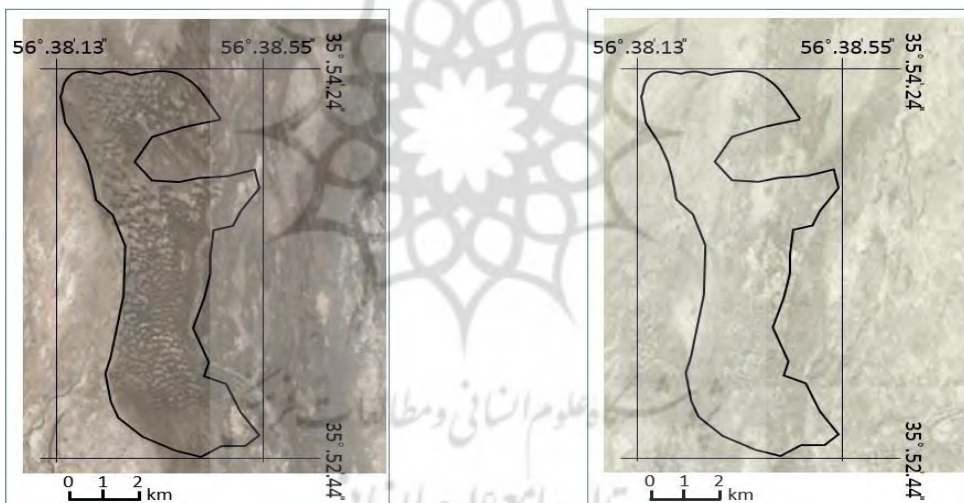
### مقدمه

در محیط‌های بیابانی، فعال شدن مجدد تپه‌های قدیمی یا تشکیل تپه‌های جدید ماسه‌ای به‌سبب ترکیبی از عرضه (آورد) رسوب (پای و تسوار، ۲۰۰۸)، قدرت باد مؤثر (واتنسون، ۱۹۸۹)، کاهش پوشش گیاهی (هس و سایمپسون، ۲۰۰۶)، یا تسلط شدید یکی از این عوامل رخ می‌دهد.

مطالعه درباره ویژگی‌های رسوب تپه‌های ماسه‌ای بیابان می‌تواند اطلاعات مهمی درباره نوع و مواد منابع ماسه (درن، ۱۹۸۶؛ یونپ، ۱۹۹۱؛ هابس و همکاران، ۲۰۱۰)، محیط رسوب‌گذاری نهشته‌ها (پوتچی و آنجل، ۲۰۰۴؛ بولر، ۱۹۷۶؛ کوکیورک، ۱۹۹۸)، تفسیر محیط‌های رسوبی دیرینه<sup>۱</sup>، حواضث گذشته فعالیت بادی (بولر، ۱۹۷۶؛ فیترسیمیونس و همکاران، ۲۰۰۷؛ لوماکس و همکاران، ۲۰۰۳)، و دیگر عوامل فیزیکی و شیمیایی فراهم کند. تحلیل‌های دینامیکی و ژنتیکی رسوبات بادی همچنین می‌تواند مشخص کند که منابع ماسه جدید حاصل تغییرات اقلیمی است یا تغییرات کاربری اراضی حاصل از فعالیت انسانی است.

برای تعیین مناطق برداشت یا منابع ماسه می‌توان از ارتباط‌های ژنتیکی یا دینامیکی بین تپه‌های ماسه‌ای و منابع ماسه استفاده کرد (منگو، ۱۹۸۴). ارتباط ژنتیکی به موضوع ارتباط کانی‌شناسی رسوبات بادی با کانی‌شناسی منابع ماسه می‌پردازد (زندا، ۱۹۸۴؛ فیتزمیمونس و همکاران، ۲۰۰۹؛ هابس و همکاران، ۲۰۱۰). ارتباط دینامیکی به موضوع مطالعه فیزیکی ذرات همچون اندازه دانه<sup>۱</sup>، شکل دانه<sup>۲</sup> و وزن مخصوص<sup>۳</sup> (واتسون، ۱۹۸۹) بین رسوبات بادی و منابع ماسه می‌پردازد (زندا، ۱۹۸۴؛ زادی و همکاران، ۲۰۰۹؛ بگنولد و بارندورف، ۱۹۸۰؛ وینست، ۱۹۸۴؛ رفعت و هامدان، ۲۰۱۵). روش مطالعه در مورد ارتباط بین فرم تپه‌های ماسه‌ای و منابع ماسه باید بهوسیله برداشت‌های زمینی تکمیل شود. برداشت‌های صحرایی می‌تواند منابع ماسه، تفاوت اندازه ماسه، یا زبری حاصل از وضعیت سطحی اراضی را مشخص کند (مابوت، ۱۹۷۷).

در منطقه رضآباد (شرق استان سمنان) طی چند دهه اخیر (۱۳۹۴-۱۳۳۴) مجموعه‌ای از تپه‌های ماسه‌ای (ارگ) ایجاد شده است. بررسی عکس‌های هوایی سال ۱۳۳۴ (۱۹۵۵) نشان داد که آثاری از این ارگ در منطقه وجود نداشته است؛ در حالی که بررسی تصاویر ماهواره‌ای سال ۱۳۹۴ (۲۰۱۵) نشان داد که در این دوره زمانی ارگی به وسعت حدود ۶۰۰ هکتار ایجاد شده است (عبدی و همکاران، ۱۳۹۱) (شکل ۱). هدف اصلی از این مطالعه بررسی روند ایجاد و پیش روی تپه‌های ماسه‌ای و آنالیز دانه‌بندی و کانی‌شناسی رسوبات آن به منظور شناخت منابع ماسه آن است.

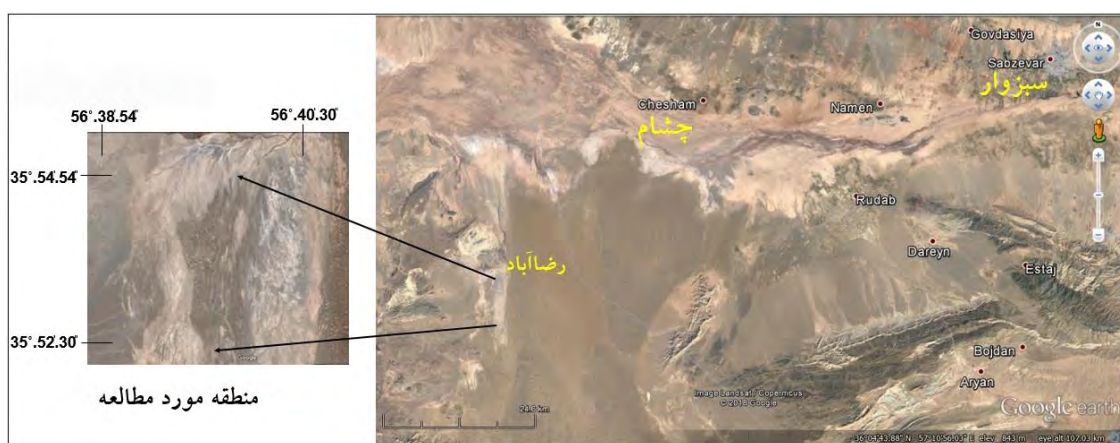


شکل ۱. عکس هوایی و تصویر ماهواره‌ای منطقه  
عکس هوایی منطقه در سال ۱۳۳۴ (۱۹۵۵) تصویر ماهواره‌ای منطقه در سال ۱۳۹۴ (۲۰۱۵)

### منطقه مورد مطالعه

منطقه مورد مطالعه در جنوب غربی سبزوار و نزدیک روستای رضآباد واقع شده است. از نظر موقعیت جغرافیایی، در عرض ۳۵ درجه و ۵۲ دقیقه و ۴۴ ثانیه تا ۳۵ درجه و ۵۴ دقیقه و ۲۴ ثانیه شمالی و در طول ۵۶ درجه و ۳۸ دقیقه و ۱۳ ثانیه تا ۵۶ درجه و ۳۸ دقیقه و ۵۵ ثانیه شرقی قرار دارد. ارتفاع متوسط منطقه ۸۹۵ متر از سطح دریاست (شکل ۲). این ارگ در کناره غربی ارگ بزرگ خارتوران است که اگر با این وضعیت توسعه یابد، می‌تواند به ارگ خارتوران در چند ده سال آینده برسد.

1. Grain size
2. Grain shape
3. Specific gravity



شکل ۲. منطقه مورد مطالعه

## مواد و روش‌ها

در این پژوهش نخست به تعیین محدوده و مطالعه مورفولوژی مجموعه تپه‌های ماسه‌ای (ارگ) ایجاد شده براساس عکس‌های هوایی با مقیاس ۱:۵۰۰۰۰ عکس‌برداری شده در سال ۱۹۵۵ و تصاویر سنجنده MODIS ماهواره Terra از سایت Google Earth و انتقال آن به نقشه‌های توپوگرافی ۱:۵۰۰۰۰ اقدام شد. با این مطالعه تشکیل و میزان پیشروی تپه‌ها و همچنین قطاع منبع و منشأ رسوبات بادی مشخص و مطالعه زمین‌شناسی آنها با استفاده از چند پارامتر از جمله نقشه‌های زمین‌شناسی، عکس‌های هوایی منطقه، و پیمایش صحرایی انجام شد. گام بعد، بازدیدهای میدانی برای بازیابی مطالعات دفتری انجام شده، تعیین موقعیت انواع تپه‌ها، و مورفولوژی آنها و نمونه‌برداری رسوب بود که براساس موقعیت تپه‌ها، تکامل مورفولوژی تپه‌ها، و توزیع مناسب نمونه‌ها در جهت پوشش تمام منطقه و طرح ارائه شده در شکل ۳ بود.



شکل ۳. نقاط نمونه‌برداری

در هر تپه از بخش پایینی، میانی، و نزدیک تاج در دامنه رو به باد و تا عمق ۱۰۰ سانتی‌متری و حدود ۱۰۰ گرم نمونه‌برداری شد. تجزیه و تحلیل رسوب براساس میانگین نتایج حاصل از سه نمونه در هر تپه بوده است. نمونه‌های برداشت‌شده در آزمایشگاه بهوسیلهٔ ترازو با دقت یک صدم گرم وزن گردیدند و سپس با مرااعات نکات ارائه شده در روش الک خشک (آندرسن، ۲۰۰۴) دانه‌بندی شدند. پارامترهای آماری حاصل از دانه‌بندی نمونه‌های رسوب شامل میانگین (MZ)، میانه (Md)، انحراف معیار جامع (SD)، چولگی جامع (SKI)، و کشیدگی منحنی (KU) با استفاده از نرم‌افزار GRADISTAT (بلاط و پای، ۲۰۰۱) انجام گرفت.

برای بررسی ترکیب کانی‌شناسی رسوبات بادی و منشأ و منبع آنها، نخست قطاع برداشت (تونل بادآورد ماسه) با استفاده از جهت باد غالب و قوی منطقه مشخص شد. محل برداشت نمونه‌ها بر روی واحدهای سنگ‌شناسی و سازندها مشخص و ترکیب کانی‌شناسی آنها تعیین شد. سپس، سنگ و سازنده تولیدکننده هر کانی و خردسنج و درصد سهم هر واحد سنگی در تولید رسوب مشخص شد. پس از شناخت کانی‌های مؤثر در منبع و منشأ، نمونه‌های رسوبات بادی کانی‌شناسی شدند. کانی‌شناسی بر روی ۱۰۰ دانه از رسوبات انجام شد. این رسوبات انتخابی در یک پتروی دیش ریخته و در زیر بینوکولر قرار داده شدند. نخست چند قطره آب به رسوبات اضافه شد؛ چنانچه دانه‌ها در آب حل شوند، با شمارش تعداد دانه‌های باقی‌مانده و کسر آن از تعداد کل، درصد دانه‌های متشکل از نمک طعام و چنانچه دانه‌ها در آب باز شوند و محیط گل‌آسود شود، تعداد و درصد خاک‌دانه‌ها و قلوه‌های رسی به دست آورده می‌شود. سپس، محیط با آب تمیز می‌شود، با استفاده از دستمال آبِ اضافی گرفته می‌شود و چند قطره اسید کلریدریک ۱٪ نرمال به دانه‌ها اضافه می‌شود. با استفاده از اسید کلریدریک ۰٪ نرمال درصد کانی‌های کلسیت، دولومیت، و مارن مشخص می‌شود. از دانه‌هایی که سریعاً با اسید جوشیده و حل شوند درصد کانی کلسیت و قلوه‌های آهکی به دست می‌آید. چنانچه جوشش بسیار ملایم باشد، درصد کانی دولومیت و قلوه‌های دولومیتی تعیین می‌شود و اگر پس از جوشش محیط گل‌آسود شد و رس باقی ماند، درصد کانی مارن تعیین می‌شود. سپس، محیط با آب تمیز می‌شود، آبِ اضافی گرفته می‌شود، و دانه‌ها دوباره شمارش می‌شوند. سپس، در زیر بینوکولر، براساس انعکاس نور، روشی، تیرگی، سختی و رخ یا فاقد رخ بودن، همه کانی‌ها و خردسنج‌ها شناسایی و تعداد آن‌ها به دست آورده می‌شود. سپس، درصد فراوانی هر کانی و خردسنج و سهم هر یک از کانی‌ها و خردسنج‌ها تعیین می‌شود. سنگ و سازنده تولیدکننده هر کانی و خردسنج و درصد سهم هر واحد سنگی در تولید رسوب از رابطه ۱ مشخص شد (فیض‌نیا، ۱۳۸۷).

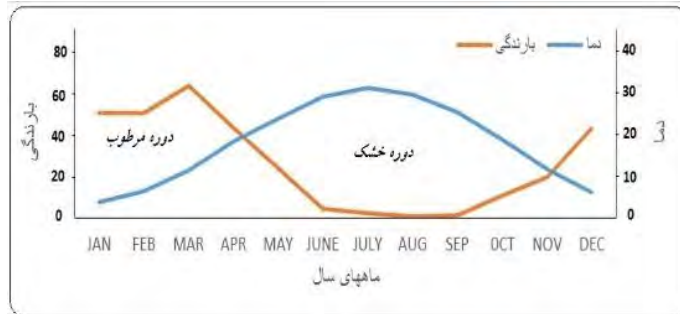
$$\frac{\text{فرابوی رسوب حاصل از واحد سنگ‌تنبلی همگن}}{\text{فرابوی کل رسوب}} * 100 = \frac{\text{رسوب‌زایی پتانسیل هر واحد سنگی (درصد)}}{\frac{\text{مساحت واحد سنگ‌تنبلی (کیلومتر مربع)}}{\text{مساحت کل زیرحوضه آبخیز (کیلومتر مربع)}}} \quad (1)$$

همچنین، با توجه به واقع شدن منطقه در مناطق خشک و موضوع مطالعه، شرایط اقلیمی و ویژگی‌های باد نیز بررسی شد. این مطالعه بر روی داده‌های ایستگاه سبزوار بود.

## یافته‌های پژوهش شرایط اقلیمی

بررسی درجه حرارت ایستگاه سبزوار در یک دوره آماری ۵۵ ساله (۱۳۳۴ تا ۱۳۸۹) نشان داد که متوسط دمای منطقه ۱۷,۰۵ درجه سانتی‌گراد است. بررسی بارندگی در همین دوره آماری نشان داد که متوسط بارندگی منطقه ۱۸۷,۸۴ میلی‌متر است که از ۸۸,۲ میلی‌متر در سال ۱۳۴۳ تا ۳۱۱,۴ میلی‌متر در سال ۱۳۸۴ نوسان داشته است. به عبارتی، دامنه

تعییرات بارندگی ۲۲۳/۲ میلی‌متر بوده است. مطالعه اقلیم منطقه براساس داده‌های ایستگاه سبزوار نشان داد که اقلیم منطقه براساس روش دومارتن خشک و بیابانی است. به منظور شناخت بهتر از مدت و شدت خشکی منطقه، نمودار آمبروترمیک ایستگاه سبزوار ترسیم شد (شکل ۴). براساس این نمودار، در حدود هشت ماه از سال (اواسط اسفند تا اواسط آبان) شرایط خشکی بر منطقه حاکم است. این حاکمیت خشکی می‌تواند بر پارامترهای تشیدیکننده فرسایش بادی همچون رطوبت خاک و پوشش گیاهی تأثیرگذار باشد.

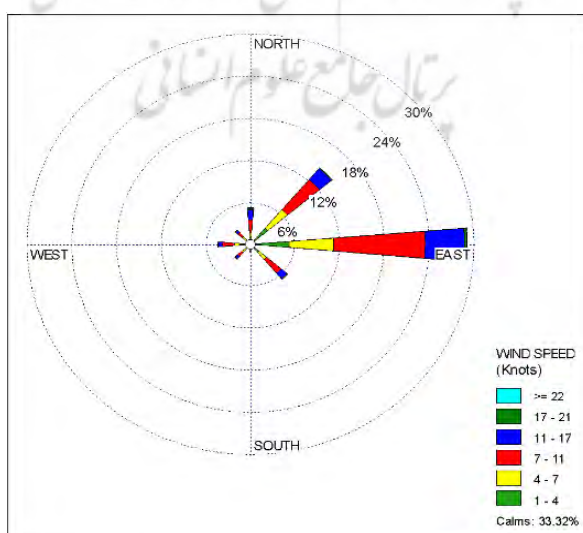


شکل ۴. نمودار آمبروترمیک ایستگاه سبزوار (نگارندگان)

#### ویژگی‌های باد

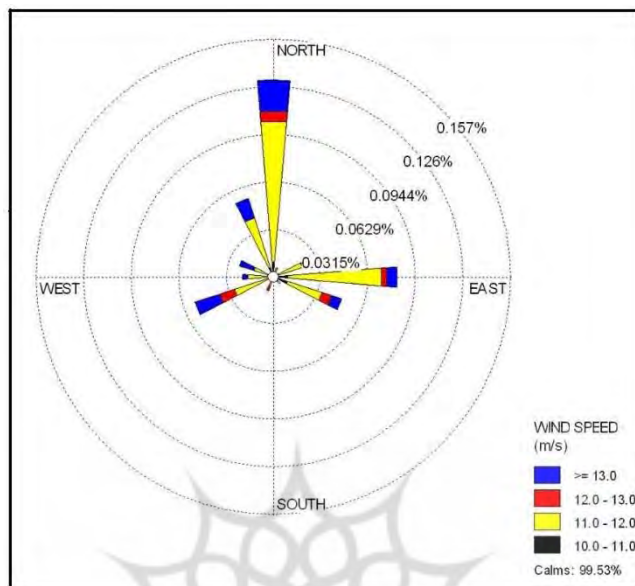
مطالعه بادستنجی منطقه براساس داده‌های ایستگاه سبزوار در یک دوره ده‌ساله و با نرمافزار WD convert و WR Plot انجام گرفت که شامل مطالعه گل‌باد و گل‌طوفان داده‌های ایستگاه سبزوار است.

(الف) گل‌باد: شکل ۵ گل‌باد سالانه ایستگاه سبزوار را به صورت نرمال ده‌ساله (۲۰۰۵ تا ۲۰۱۵) نشان می‌دهد. همان‌گونه که شکل ۵ نشان می‌دهد، جهت وزش باد غالب در این ناحیه از شرق به غرب است. با توجه به اینکه درصد موقع باد آرام در کل سال ۳۰ درصد گزارش شده است، می‌توان بیان کرد که ناحیه سبزوار بادخیز است. مطالعه گل‌بادهای فصلی این ایستگاه نشان داد که جهت وزش باد غالب در کلیه فصل‌های سال شرقی است که نشان‌دهنده وزش باد از این سمت در تمام طول سال است.



شکل ۵. گل‌باد سالانه نرمال ایستگاه سبزوار (نگارندگان)

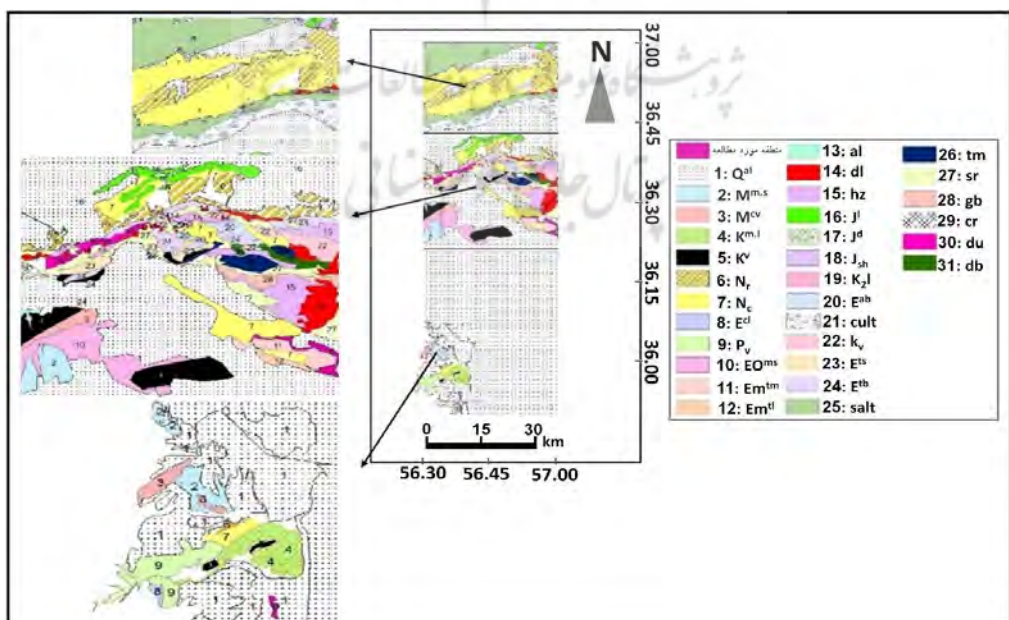
ب) گل‌طوفان: به منظور بررسی بادهای فرساینده منطقه و اینکه مطالعات اولیه نشان داده که مورفولوژی تپه‌های ماسه‌ای با باد غالب منطقه همخوانی ندارد (مشهدی، ۱۳۸۶)، به مطالعه گل‌طوفان ایستگاه سبزوار در همان دوره آماری اقدام شد (شکل ۶).



شکل ۶. گل‌طوفان سالانه نرمال ایستگاه سبزوار (نگارندگان)

#### زمین‌شناسی

مطالعه زمین‌شناسی منطقه به صورت نقشهٔ زمین‌شناسی در محیط نرم‌افزار GIS به صورت شیپ فایل تهیه و ارائه شد (شکل ۷ و جدول ۴ به عنوان راهنمای).



شکل ۷. زمین‌شناسی ارگ جدید به اضافهٔ مناطق بالادست به عنوان منبع و منشأ ماسه

### مورفولوژی تپه‌های ماسه‌ای ارگ

براساس طبقه‌بندی منگو ۱۹۹۹، تپه‌های ماسه‌ای ارگ از تپه‌ها و زنجیره‌های هلالی شکل تشکیل شده‌اند که شامل اشکال پیش‌بارخانی، بارخان، بارخانوئید، و تپه‌های عرضی می‌شود. تحول تپه‌ها از شمال به طرف جنوب است و از تپه‌های پیش‌بارخانی به تپه‌های عرضی تغییر می‌کنند (شکل‌های ۸ و ۹).



شکل ۹. تپه‌های بارخانوئید در ارگ



شکل ۸. تپه‌های بارخانی در ارگ

### دانه‌بندی و پارامترهای آماری

براساس روش ارائه شده دانه‌بندی نمونه‌ها، درصد فراوانی ذرات رسوب نمونه‌ها در جدول ۱ آورده شده است.

جدول ۱. نتایج دانه‌بندی (درصد فراوانی ذرات روی هر الک)

ردیف	قطر روزنۀ الک ( $\mu$ )	دانه‌بندی						
		<۶۳	۶۳	۱۲۵	۲۵۰	۵۰۰	۱۰۰۰	>۲۰۰۰
جمع								
۱	۰,۳۷	۲,۵۹	۷۶,۶۸	۱۹,۹۷	۰,۳۷	۰,۰۲	۰,۰۰	
۲	۰,۱۸	۵,۷۷	۸۳,۸۳	۱۰,۰۱	۰,۱	۰,۱۱	۰,۰۰	
۳	۰,۲۸	۷,۳۰	۸۷,۳۰	۵,۰۳	۰,۰۷	۰,۰۲	۰,۰۰	
۴	۰,۵۷	۱,۴۸	۸۲,۰۸	۱۵,۰۵	۰,۵۷	۰,۲۵	۰,۰۰	
۵	۰,۰۸	۱,۷۰	۷۶,۲۹	۲۱,۲۹	۰,۶۲	۰,۰۲	۰,۰۰	
۶	۰,۰۸	۱,۵	۷۸,۸۷	۱۹,۴۴	۰,۱۱	۰,۰۰	۰,۰۰	
۷	۰,۰۳	۱,۸۸	۷۸,۷۴	۱۱,۰۹	۸,۱۵	۰,۱۱	۰,۰۰	
۸	۰,۲۷	۵,۷۰	۸۳,۰۶	۱۰,۶۲	۰,۳۵	۰,۰۰	۰,۰۰	
۹	۰,۲۲	۵,۲۳	۸۳,۰۵	۱۱,۲۰	۰,۲۹	۰,۰۱	۰,۰۰	
۱۰	۰,۱۲	۵,۵۲	۷۹,۲۱	۱۴,۷۸	۰,۳۶	۰,۰۱	۰,۰۰	
۱۱	۰,۱۵	۳,۱۳	۸۶,۷۵	۹,۸۵	۰,۰۹	۰,۰۳	۰,۰۰	
۱۲	۰,۰۸	۴,۳۱	۶۸,۱۹	۲۵,۰۶	۲,۳۴	۰,۰۲	۰,۰۰	
۱۳	۰,۰۴	۹,۰۵	۷۷,۴۹	۸,۷۰	۴,۳۸	۰,۳۴	۰,۰۰	
۱۴	۰,۲۲	۴,۸۲	۸۳,۶۴	۱۱,۱۳	۰,۱۵	۰,۰۴	۰,۰۰	
۱۵	۰,۱۱	۶,۴۵	۶۹,۰۱	۲۳,۶۸	۰,۷۳	۰,۰۲	۰,۰۰	
۱۶	۰,۲۹	۳,۸۱	۸۱,۸۱	۱۳,۸۹	۰,۱۹	۰,۰۱	۰,۰۰	
۱۷	۰,۰۴	۲,۳۹	۸۴,۸۷	۱۲,۶۵	۰,۰۴	۰,۰۱	۰,۰۰	
۱۸	۰,۱۱	۲,۰۸	۶۵,۷۰	۳۱,۹۴	۰,۱۷	۰,۰۰	۰,۰۰	
۱۹	۰,۰۴	۲,۴۱	۷۶,۷۲	۲۰,۳۹	۰,۴۳	۰,۰۱	۰,۰۰	
۲۰	۰,۲۶	۵,۴۶	۷۴,۹۳	۱۹,۱۰	۰,۲۰	۰,۰۵	۰,۰۰	
۲۱	۰,۰۵	۳,۰۳	۵۵,۳۸	۳۳,۴۲	۸,۰۶	۰,۰۶	۰,۰۰	
۲۲	۰,۲۸	۳,۳۶	۶۷,۰۵	۲۷,۷۴	۱,۰۵	۰,۰۲	۰,۰۰	
۲۳	۰,۲۱	۳,۱۵	۵۸,۴۹	۳۷,۹۴	۰,۲۰	۰,۰۱	۰,۰۰	
۲۴	۰,۱۸	۴,۸۶	۸۱,۶۳	۱۲,۱۱	۰,۱۹	۰,۰۲	۰,۰۱	

همان‌گونه که جدول ۱ نشان می‌دهد، مقدار طبقات دانه‌بندی همه نمونه‌ها بین ۱۲۵ تا ۲۵۰ میکرون است. پارامترهای آماری اندازه دانه در جدول ۲ آورده شده است.

جدول ۲. پارامترهای آماری حاصل از دانه‌بندی نمونه‌ها

کشیدگی Kurtosis	چولگی Skewness	جورش‌دگی Sorting	مقدار طبقات رسوب (μm)	متوسط اندازه دانه	میانگین (μm)	میانه (μm)	نمونه
متوسط	به سمت ذرات درشت	خوب متوسط	۱۲۵-۲۵۰	ماسه ریز	۱۹۸,۲	۱۹۱,۲	۱
کشیده	متقارن	خوب	۱۲۵-۲۵۰	ماسه ریز	۱۸۹,۷	۱۷۹,۹	۲
متوسط	به سمت ذرات ریز	خوب	۱۲۵-۲۵۰	ماسه ریز	۱۷۲,۵	۱۷۵,۰	۳
کشیده	به سمت ذرات درشت	خوب	۱۲۵-۲۵۰	ماسه متوسط	۳۸۲,۸	۳۷۴,۸	۴
متوسط	به سمت ذرات درشت	خوب متوسط	۱۲۵-۲۵۰	ماسه ریز	۲۰۳,۸	۱۹۳,۷	۵
متوسط	به سمت ذرات درشت	خوب متوسط	۱۲۵-۲۵۰	ماسه ریز	۲۰۰,۰	۱۹۱,۳	۶
خیلی کشیده	به سمت ذرات بسیار درشت	خوب متوسط	۱۲۵-۲۵۰	ماسه ریز	۲۱۱,۳	۱۹۰,۹	۷
کشیده	متقارن	خوب	۱۲۵-۲۵۰	ماسه ریز	۱۸۲,۳	۱۸۰,۵	۸
کشیده	به سمت ذرات درشت	خوب	۱۲۵-۲۵۰	ماسه ریز	۱۸۳,۸	۱۸۱,۳	۹
کشیده	به سمت ذرات درشت	خوب	۱۲۵-۲۵۰	ماسه ریز	۱۸۸,۶	۱۸۴,۳	۱۰
متوسط	به سمت ذرات درشت	خوب	۱۲۵-۲۵۰	ماسه ریز	۱۸۴,۷	۱۸۱,۶	۱۱
متوسط	به سمت ذرات درشت	خوب متوسط	۱۲۵-۲۵۰	ماسه ریز	۲۱۰,۵	۱۸۸,۱	۱۲
خیلی کشیده	متقارن	خوب متوسط	۱۲۵-۲۵۰	ماسه ریز	۱۸۸,۵	۱۸۰,۲	۱۳
متوسط	به سمت ذرات درشت	خوب	۱۲۵-۲۵۰	ماسه ریز	۱۸۴,۰	۱۸۱,۴	۱۴
کشیده	به سمت ذرات درشت	خوب متوسط	۱۲۵-۲۵۰	ماسه ریز	۲۰۰,۷	۱۹۳,۴	۱۵
متوسط	به سمت ذرات درشت	خوب	۱۲۵-۲۵۰	ماسه ریز	۱۸۸,۴	۱۸۴,۴	۱۶
متوسط	به سمت ذرات درشت	خوب	۱۲۵-۲۵۰	ماسه ریز	۱۸۹,۷	۱۸۴,۳	۱۷
پچ	به سمت ذرات درشت	خوب متوسط	۱۲۵-۲۵۰	ماسه ریز	۲۱۶,۹	۲۰۷,۰	۱۸
متوسط	به سمت ذرات درشت	خوب متوسط	۱۲۵-۲۵۰	ماسه ریز	۲۰۱,۱	۱۹۲,۱	۱۹
کشیده	به سمت ذرات درشت	خوب متوسط	۱۲۵-۲۵۰	ماسه ریز	۱۹۳,۵	۱۸۸,۳	۲۰
پچ	به سمت ذرات درشت	خوب	۱۲۵-۲۵۰	ماسه ریز	۲۴۳,۹	۲۲۴,۹	۲۱
متوسط	به سمت ذرات درشت	خوب متوسط	۱۲۵-۲۵۰	ماسه ریز	۲۱۰,۳	۲۰۱,۱	۲۲
پچ	به سمت ذرات درشت	خوب متوسط	۱۲۵-۲۵۰	ماسه ریز	۲۴۴,۲	۲۱۷,۲	۲۳
متوسط	به سمت ذرات درشت	خوب خوب	۱۲۵-۲۵۰	ماسه ریز	۱۸۶,۶	۱۸۳,۱	۲۴
					۲۰۵,۶۸	۲۰۵,۶۶	میانگین

همان‌گونه که جدول ۲ نشان می‌دهد، میانگین و میانه قطر ذرات در این ارگ به ترتیب ۲۰۵,۶۸ و ۲۰۵,۶۶ میکرون است، که اختلاف معنی‌دار با هم ندارند.

### کانی‌شناسی

براساس روش ارائه شده، اجزای تشکیل‌دهنده مشاهده شده در ۱۰ نمونه رسوبات بادی در جدول ۳ ارائه شده است.

### تعیین پتانسیل رسوب‌زایی

درصد اهمیت کانی‌های مؤثر در تولید رسوب بادی به روش کانی‌شناسی در جدول ۴ ارائه شده است.

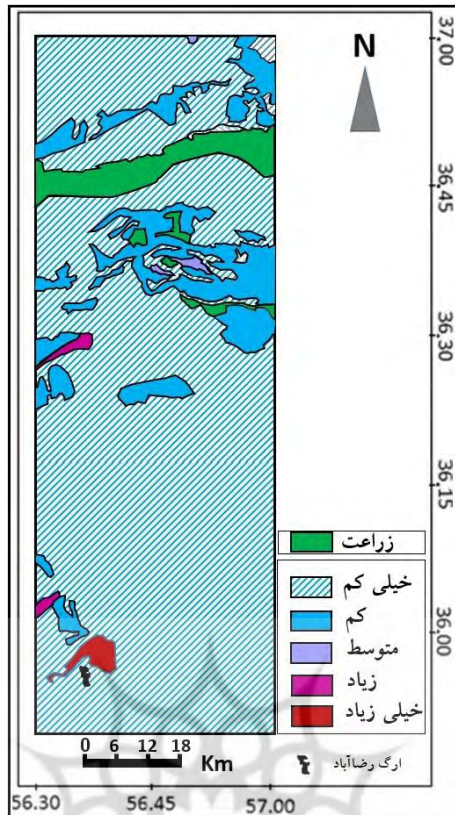
جدول ۳. اجزای تشکیل‌دهنده رسوب تپه‌های ماسه‌ای (۱۰ نمونه)

شماره نمونه	۱۰	۹	۸	۷	۶	۵	۴	۳	۲	۱	میانگین
هالیت	۶/۳	۵	۳	۱۷	۱۵	۳	۱۲	۱	۳	۴	۰
کلسیت	۱۷/۵	۱۵	۱۸	۱۰	۱۷	۱۸	۳۰	۱۳	۱۶	۱۹	۱۹
دروصد	۱/۶	۰	۰	۸	۱	۲	۰	۵	۰	۰	۰
کانی‌ها	۱/۲	۰	۰	۰	۱	۷	۳	۱	۰	۰	۰
رس	۱/۱	۱	۰	۰	۰	۵	۰	۴	۰	۱	۰
ژیپس	۰/۳	۱	۰	۰	۰	۰	۰	۲	۰	۰	۰
شیل	۰/۱	۰	۰	۰	۰	۰	۰	۰	۰	۱	۰
ماسه‌سنگ کوارتزی	۲۳/۱	۲۹	۳۱	۲۱	۱۰	۹	۱۷	۲۸	۲۲	۳۱	۳۲
ماسه‌سنگ فلداسپات‌دار	۱۲/۲	۱۵	۲۱	۲۲	۱۱	۴	۴	۱۰	۱۵	۸	۱۲
ماسه‌سنگ لیتک‌دار	۱۰	۱۵	۷	۱۱	۳۲	۱۷	۴	۵	۸	۲	۰
درصد	۵/۶	۱	۵	۱	۳	۵	۴	۱۴	۵	۵	۱۳
آندزیت	۲/۴	۶	۰	۰	۱	۰	۰	۸	۳	۳	۳
خرده‌سنگ	۲/۷	۲	۴	۳	۲	۴	۰	۰	۶	۴	۲
داسیت	۳/۵	۲	۵	۳	۵	۵	۲	۴	۳	۵	۱
بازالت	۳/۱	۳	۰	۰	۱	۷	۶	۱	۴	۴	۵
گرانیت	۴/۸	۴	۴	۲	۱	۱۰	۱۰	۰	۱۰	۴	۳
مونزونیت	۰/۱	۰	۰	۰	۰	۰	۰	۱	۰	۰	۰
گنیس	۴/۴	۱	۲	۲	۰	۴	۸	۳	۵	۱۰	۹
کنگلومرا		۱۰۰	۱۰۰	۱۰۰	۱۰۰	۱۰۰	۱۰۰	۱۰۰	۱۰۰	۱۰۰	۱۰۰
جمع											

جدول ۴. درصد اهمیت کانی‌های مؤثر در تولید رسوب بادی به روش کانی‌شناسی

منشأ تولید رسوب	علامت	مساحت	درصد	تعداد کانی‌های مؤثر	اهمیت نسبی	درصد اهمیت نسبی
کواترنری	Q	۷۹/۰۰	۵۰/۰۰	۰/۶۳	۰/۶۳	۰/۹۳
بازالت	N <sub>ob</sub>	۱/۰۸	۱/۷۵	۱/۶۲	۱/۶۰	۲/۴۰
کنگلومرا	N <sub>c</sub>	۶/۹۵	۲/۲۰	۰/۳۲	۰/۴۷	۰/۴۷
کنگلومرا با ذرات آتش‌فشاری	M <sup>cv</sup>	۱/۶۶	۱/۸۵۰	۱۱/۱۴	۱۶/۵۳	۱۱/۱۴
مارن و ماشه‌سنگ	M <sup>m.s</sup>	۰/۷۰	۰/۶۰	۰/۸۶	۱/۲۸	۰/۱۳
تناوب مارن توف با ماشه‌سنگ آهکی	E <sub>m</sub> <sup>tm</sup>	۰/۳۳	۰/۱۳	۰/۰۹	۰/۱۳	۰/۱۳
تناوب مارن و ماشه‌سنگ و شیل	EO <sup>ms</sup>	۱/۵۶	۰/۳۰	۰/۱۹	۰/۲۸	۰/۲۸
توف و لایلی همراه با ماشه‌سنگ آهکی	E <sub>m</sub> <sup>tl</sup>	۰/۱۲	۰/۱۲	۰/۱۷	۰/۲۵	۰/۲۵
مارن	EO <sup>m</sup>	۳/۱۳	۲/۰۰	۰/۶	۱/۴۲	۱/۴۲
کنگلومرا آتش‌فشاری	EO <sup>cv</sup>	۰/۴۲	۶/۳۰	۱۵/۰۰	۲۲/۲۶	۰/۰۶
توف	E <sup>ts</sup>	۰/۲۳	۰/۰۱	۰/۰۴	۲/۰۰	۲/۹۷
توف و بازالت اندرزیتی	E <sup>tb</sup>	۰/۷۵	۱/۵۰	۱/۵۰	۵/۷۱	۸/۴۷
آندرزیت	E <sup>vt</sup>	۰/۲۱	۱/۲۰	۱/۲۰	۲۱/۶۳	۳۲/۰۹
آهک مارنی و مارن	KL <sup>ml</sup>	۰/۴۶	۹/۹۵	۰/۹۵	۰/۰۰	۰/۰۰
هارزبورزیت سرپاپتینی شده	Sr	۱/۲۶	۰/۰۰	۱/۱۵	۱/۷۱	۱/۷۱
هارزبورزیت با گابرو دوریتی	hz	۱/۰۴	۱/۲۰	۰/۱۰	۱/۱۸	۱/۷۵
دولومیت	J <sup>d</sup>	۰/۶۸	۰/۱۰	۰/۱۰	۰/۱۵	۰/۱۵
مارن	J <sup>l</sup>	۰/۰۱	۰/۰۰	۰/۰۰	۰/۸۹	۰/۸۹
شیل	J <sup>sh</sup>	۰/۲۵	۰/۱۵	۰/۶۰	۰/۰۰	۰/۰۰
گنیس	P <sup>eg</sup>	۰/۰۱	۰/۰۰	۰/۰۰	۰/۳۹	۰/۳۹
داسیت	Da	۰/۸۴	۱/۲۵	۱/۶۱	۲/۴۰	۳/۵۶
گابرو	db2	۰/۵۰	۱/۲۰	۰/۰۰	۰/۰۰	۰/۰۰
کرومیت	Cr	۰/۰۷	۰/۰۰	۰/۰۰	۰/۰۰	۰/۰۰
ناحیه سریستی، کلربیتی، و هماتیتی شده	Al	۰/۰۴	۰/۰۰	۰/۰۰	۰/۰۰	۰/۰۰

اهمیت نسبی کانی‌های مؤثر در تولید رسوب و به عبارتی درجه فرسایش پذیری واحدهای سنگ‌شناسی مؤثر در آورد رسوب به چهار طبقه با اهمیت نسبی زیاد، متوسط، کم، و خیلی کم طبقه‌بندی شد که در شکل ۱۰ نشان داده شده است.



شکل ۱۰. نقشه اهمیت نسبی کانی‌های مؤثر در تولید رسم

## بحث و نتیجه‌گیری

در منطقه رضا آباد خارتوران در طی شصت سال گذشته، تجمعی از تپه‌های ماسه‌ای (ارگ) با مساحت حدود ۶۰۰ هکتار ایجاد شده است. وجود تپه‌های ماسه‌ای کم‌تحول یافته هلالی‌شکل (پیش‌بارخانی)، عدم استقرار پوشش گیاهی، و ویژگی‌های اندازه ذرات نشان می‌دهد که ارگ مزبور فعال است. توزیع مکانی تپه‌های ماسه‌ای از شمال (تپه‌های پیش‌بارخانی) به طرف جنوب (بارخانوئید) نشان از تحول و تکامل آنها از شمال به طرف جنوب دارد. بر این اساس، حرکت تپه‌های جدید و جوان از شمال به طرف جنوب است، ولی پیشروی کل ارگ به طرف شمال منطقه است و اراضی شمال ارگ در معرض تجاوز و اشغال توسط تپه‌های ماسه‌ای می‌باشند.

مطالعه رابطه مورفولوژی و کشیدگی تپه‌ها با جهت باد غالب و قوی، به منظور تعیین منابع ماسه و قطاع برداشت، نشان داد که جهت وزش باد غالب در این ناحیه از شرق به غرب است (شکل ۳)؛ در حالی که مورفولوژی تپه‌ها نشان دهنده باد یک‌جهتی و کشیدگی آن‌ها نشان دهنده باد شمالی-جنوبی است. بنابراین، با توجه به جهت باد قوی منطقه (شکل ۴)، می‌توان نتیجه گرفت که باد ایجاد کننده و شکل‌دهنده تپه‌ها شمالی-جنوبی است و منابع ماسه یا مناطق برداشت در شمال منطقه است.

مطالعه ویژگی‌های توزیع اندازه ماسه به شناسایی منابع ماسه یا مناطق برداشتی کمک می‌کند که می‌توانند تهدیدی برای زمین‌های کشاورزی یا مراتع منطقه باشند. تجاوز تپه‌های ماسه‌ای به زمین‌های حاصل‌خیز نشان دهنده یک خطر اقتصادی به واحدهای بیابانی است (ال باز، ۱۹۹۲). همان‌گونه که جدول ۲ نشان می‌دهد، میانگین و میانه (میان) قطر

ذرات به ترتیب برابر  $20.5/68$  و  $20.5/66$  میکرون یعنی در حد ماسه ریز است. این اختلاف کم و نزدیک بودن آنها به یکدیگر نشان دهنده تحول کم ذرات رسوب در این ارگ است که، با توجه به میزان قطر ذرات، مد طبقات رسوب و مسیر باد فرساینده شمال-جنوبی، منابع ماسه در این منطقه می‌تواند در فاصله حمل  $20$  تا  $50$  کیلومتر قرار داشته باشد که به شرح زیر است (شکل ۱۱).

- کواترنری  $Q$  با  $79$  درصد مساحت از قطاع برداشت به ترتیب رسوب‌گذاری از جدید به قدیم به صورت زیر است:

$Q^{13}$  پادگانهای جوان و دشت آبرفتی؛

$Q^{k4}$  نواحی نمدار و مسطح با نواحی پُف کرده و نرم که توسط کانالهای فراوان بریده شده‌اند؛

$Q^{k3}$  نواحی مسطح سخت و نرم با پوسته سخت و بخش‌های پُف کرده پراکنده؛

$Q^{k2}$  نواحی خشک و مسطح با پوسته سخت و بخش‌های پُف کرده فراوان؛

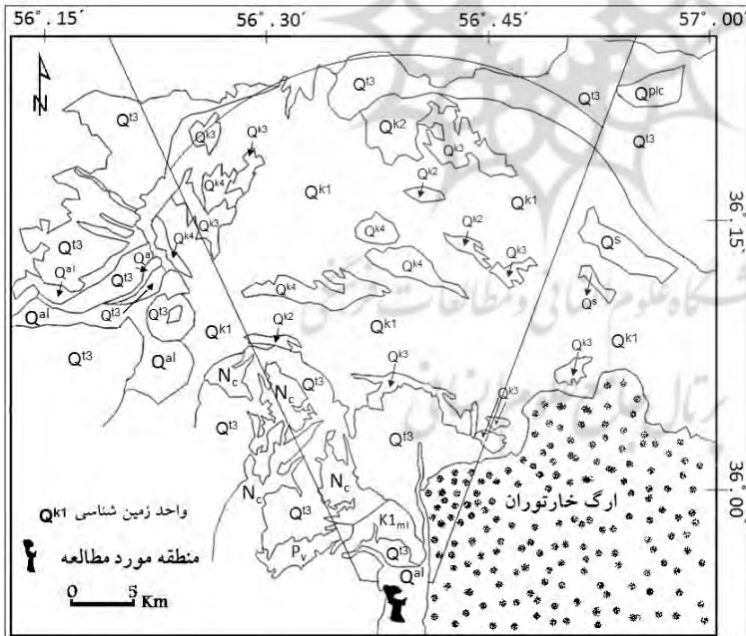
$Q^{k1}$  زمین‌های خشک، نرم، و پُف کرده به طور محلی دارای پوسته و کanal نمکی؛

$Q^s$  اشکال مختلف تپه‌های ماسه‌ای؛

$Q^{al}$  آبرفت در آبراهه‌های اصلی؛

- کنگلومرا  $N_c$  با  $12$  درصد مساحت از قطاع برداشت

- مارن و سنگ آهک مارنی  $KL^{ml}$  با  $9$  درصد مساحت از قطاع برداشت



شکل ۱۱. محدوده منابع ماسه ارگ جدید رضآآباد

$Q^{13}$  پادگانهای جوان و دشت آبرفتی  
 $Q^{k4}$  نواحی نمدار و مسطح با نواحی پُف کرده  
 و نرم  
 $Q^{k3}$  نواحی مسطح سخت و نرم با پوسته  
 سخت و بخش‌های پُف کرده پراکنده  
 $Q^{k2}$  نواحی خشک و مسطح، با پوسته  
 سخت و بخش‌های پُف کرده فراوان  
 $Q^{k1}$  زمین‌های خشک، نرم، و پُف کرده  
 به طور محلی دارای پوسته و کanal نمکی  
 $Q^s$  اشکال مختلف تپه‌های ماسه‌ای  
 $Q^{al}$  آبرفت در آبراهه‌های اصلی  
 $N_c$  کنگلومرا  
 $KL^{ml}$  مارن و سنگ آهک مارنی

جورشده‌گی بیشتر نمونه‌ها در منطقه در حد خوب و متوسط بوده است. این نوع جورشده‌گی به نوعی تأییدکننده فاصله حمل دور تا متوسط ذرات از منطقه برداشت خود تا محل تجمع رسوبات است و از طرفی نشان دهنده کم بودن تعداد منابع است. لنکستر و همکاران (۲۰۱۲) درشتی و جورشده‌گی ضعیفتر ماسه‌ها را نشان دوربینودن ماسه از منبع دانستند.

همچنین، مطالعه کاسپر و همکاران (۲۰۰۷) نشان داد که وجود ذرات ریزدانه با جورشدگی خوب در تپه‌های منطقه ال‌پیناکات<sup>۱</sup> دوری مسافت و دوری حمل از منبع ماسه است.

اغلب نمونه‌های ماسه‌های بادی دارای کجشیدگی به‌سمت ذرات درشت‌دانه است و این بدین معنی است که بخش ذرات ریز منحنی دارای جورشدگی بهتر بوده و بنابراین منابع ماسه می‌تواند از ارگ فاصله بیشتری داشته باشد. بیشتر نمونه‌های ماسه بادی از نظر کشیدگی در مقیاس فولک و وارد (۱۹۵۷) بیشتر به صورت کشیده تا متوسط است که این موضوع نشان‌دهنده این است که ذرات واقع در بخش وسط منحنی دارای جورشدگی بیشتر از ذرات واقع در دنباله منحنی است.

همان‌گونه که جدول‌های ۲ و ۳ نشان می‌دهند، بیشترین درصد وزنی رسوبات و با اختلاف آشکار مربوط به طبقه ۱۲۵ تا ۲۵۰ میکرون است که نشان‌دهنده وجود ذرات آسیب‌پذیر (براساس تقسیم‌بندی بگنولد، ۲۰۱۲) در منابع ماسه است. از طرفی نیز می‌توان بیان کرد که حداقل یک منبع فعال در منطقه وجود دارد.

مطالعات کانی‌شناسی و ارتباط آن با واحدهای سنگ‌شناسی (منشأ رسوبات بادی) نشان داد که درواقع کانی‌های اختصاص‌یافته به هریک از واحدهای سنگ‌شناسی به صورت نهشته‌های کواکنری تهنشین شده و سپس دوباره حمل شده و به صورت تپه‌های ماسه‌ای درآمده است. این مطالعات نشان داد واحد سنگی آهک مارنی و مارن (Kl<sup>ml</sup>) با سهم نسبی ۳۲/۰۹ به عنوان حساس‌ترین واحد سنگی در آورد ماسه و در درجه بعد واحد سنگی کنگلومراي آتش‌فشانی (Eo<sup>cw</sup>) و کنگلومرا با ذرات آتش‌فشانی (M<sup>cw</sup>) به ترتیب با اهمیت نسبی ۲۲/۲۶ و ۱۶/۵۳ قرار دارند (جدول ۴).

## جمع‌بندی

مشاهدات صحراوی، مقایسه عکس‌های هوایی و تصاویر ماهواره‌ای از تپه‌های ماسه‌ای، نتایج آزمایشگاهی ذرات رسوب و ویژگی‌های آماری آن‌ها، و مطالعات گل‌باد و گل‌طوفان نشان داد که ارگ مزبور ارگی فعال است و از منابع ماسه در شمال ارگ تعذیه می‌شود. با توجه به جوانبودن ارگ و حجم آورد ماسه در بازه زمانی شصت سال (به ازای هر سال حدود ۱۰۰ متر پیشروی ارگ) مشخص می‌شود که منبع یا منابع ماسه به وجودآمده بسیار فعال است. فعال‌بودن یا فعال شدن این منابع ماسه به نظر می‌رسد حاصل تغییرات اقلیم یا تغییرات کاربری اراضی باشد که پیشنهاد می‌شود درباره این موضوع پژوهش شود.

## منابع

- سازمان زمین‌شناسی کشور (۱۳۷۴). نقشه زمین‌شناسی، ورقه خارتوران.
- سازمان جغرافیایی نیروهای مسلح (۱۳۴۶ و ۱۳۵۵). عکس‌های هوایی ۱:۵۰۰۰۰ و ۱:۲۰۰۰۰.
- سازمان نقشه‌برداری کشور (۱۳۷۰). نقشه‌های توپوگرافی.
- عبدی، ص؛ مشهدی، ن. و فیض‌نیا، س. (۱۳۹۱). مطالعه عملکرد فرسایش بادی در منطقه رضا‌آباد (سبزوار) در دوره زمانی ۱۳۳۴ تا ۱۳۸۷. مجموعه مقالات سومین همایش ملی - دانشجویی مرتع، آبخیز، و بیابان.
- فیض‌نیا، س. (۱۳۸۷). رسوب‌شناسی کاربردی با تأکید بر فرسایش خاک و تولید رسوب، انتشارات دانشکده علوم کشاورزی و منابع طبیعی گرگان.
- مشهدی، ن. (۱۳۸۶). مطالعه فرایندهای فرسایش بادی براساس رخساره‌های ژئومورفوژئی (منطقه برداشت و حمل - مطالعه موردی: خارتوران). پایان‌نامه دکتری در رشته آبخیزداری، دانشگاه تهران.
- Abdi, S.; Mashhadi, N. and Feiznia, S. (2012). Investigation of wind erosion function on Reza Abad area (Sabzevar) for 1334 to 1387. 3rd Conference on Rangeland, Watershed and Desert.
- Aerial photographs, scale 1/20000, 1/55000, 1934 & 1967. National Geography Organization of Iran.
- Anderson, J. R. (2004). Sieve analysis lab exercise. University of Georgia.
- Bagnold, R. A. and Barndorff-Nielsen, O. (1980). The pattern of natural size distributions, *Sedimentology*, 27(2): 199-207.
- Bagnold, R. A. (2012). *The physics of blown sand and desert dunes*. Courier Corporation.
- Blott S. and Pye K. (2001). Gradistat: a grain size distribution and statistics package for the analysis of unconsolidated sediments, *Earth Surface Processes and Landforms*, 26: 1237-1248.
- Bowler, J. M. (1976). Aridity in Australia: age, origins and expression in aeolian landforms and sediments, *Earth-Science Reviews*, 12(2-3): 279-310.
- Dregne, H.E., 1986. Desertification of arid lands. In *Physics of desertification* (pp. 4-34). Springer, Dordrecht.
- El-Baz, F. (1992). Origin and evolution of sand seas in the great sahara and implications to petroleum and ground-water exploration, *Geology of the Arab World*, A. Sadek, ed., Cairo University Press, Cairo, Egypt, 2: 3-17.
- Feiznia, S. (2008). *Applied sedimentology with emphasis on soil erosion and sediment production*, Gorgan University of agricultural sciences and natural resources press, 356.
- Fitzsimmons, K.E.; Rhodes, E.J.; Magee, J.W. and Barrows, T.T. (2007). The timing of linear dune activity in the Strzelecki and Tirari Deserts, Australia, *Quaternary Science Reviews*, 26(19): 2598-2616.
- Fitzsimmons, K.E., Magee, J.W. and Amos, K.J., 2009. Characterisation of aeolian sediments from the Strzelecki and Tirari Deserts, Australia: implications for reconstructing palaeoenvironmental conditions. *Sedimentary Geology*, 218(1-4), pp.61-73.
- Folk, R.L. and Ward, W.C. (1957). Brazos river bar: a study of the significance of grain size parameters, *Journal of sedimentary petrology*, 27: 3-26.
- Geological Map of Khartouran (1995). Geological Survey of Iran.

- Hesse, P.P. and Simpson, R.L. (2006). Variable vegetation cover and episodic sand movement on longitudinal desert sand dunes, *Geomorphology*, 81(3): 276-291.
- Hobbs, S.W.; Paull, D.J. and Bourke, M.C. (2010). Aeolian processes and dune morphology in Gale Crater, *Icarus*, 210(1): 102-115.
- Kasper-Zubillaga, J.J., Zolezzi-Ruiz, H., Carranza-Edwards, A., Girón-García, P., Ortiz-Zamora, G. and Palma, M., 2007. Sedimentological, modal analysis and geochemical studies of desert and coastal dunes, Altar Desert, NW Mexico. *Earth Surface Processes and Landforms: The Journal of the British Geomorphological Research Group*, 32(4), pp.489-508.
- Kocurek, G. (1998). Aeolian system response to external forcing factors—a sequence stratigraphic view of the Saharan region, *Quaternary deserts and climatic change*, pp. 327-337.
- Lakes Environmental WRPLOT. Available at: <https://www.weblakes.com/products/wrplot/index.html>
- Lancaster, N.; Baker, S.; Pepe, N. and Nevada, R. (2012). Mineralogical Analyses to determine sand source(s). Revised report.
- Lomax, J.; Hilgers, A.; Wopfner, H.; Grün, R.; Twidale, C.R. and Radtke, U. (2003). The onset of dune formation in the Strzelecki Desert, South Australia, *Quaternary Science Reviews*, 22(10): 1067-1076.
- Mabbutt, J.A. (1977). Desert landforms.
- Mainguet, M. (1984). A classification of dunes based on aeolian dynamics and the sand budget, In Deserts and arid lands (pp. 31-58). Springer Netherlands.
- Mashhadi, N. (2007). Study of Wind Erosion Processes Based on Geomorphologic Facies (removal and transitional area, Case study: Khartooran Erg, Iran). PhD thesis, Faculty of Natural Resources, University of Tehran.
- Potocki, M. and Angiel, P. (2004). Change of grain size parameters of sediments as a result of wind activity. *Barchans Jarangiyn els in Gobi, Mongolia, Misceallanea Geographica*, 11: 81-91.
- Pye, K. and Tsoar, H. (2008). Aeolian sand and sand dunes, Springer Science & Business Media.
- Refaat, A.A. and Hamdan, M.A. (2015). Mineralogy and grain morphology of the aeolian dune sand of Toshka area, southeastern Western Desert, Egypt, *Aeolian Research*, 17: 243-254.
- UNEP (1991). Status of desertification and implementation of the United Nations Plan of Action to Combat Desertification. (pp. 77), Nairobi: UNEP.
- Vincent, P.J. (1984). Particle size variation over a transverse dune in the Nafud as Sirr, central Saudi Arabia, *Journal of Arid Environments*.
- Watson, A. (1989). Windflow characteristics and aeolian entrainment, *Arid zone geomorphology*, pp. 209-231.
- Zhenda, Z. (1984). Aeolian land forms in the Taklimakan desert. *Deserts and arid lands*, pp.133-142.
- Zaady, E.; Dody, A.; Weiner, D.; Barkai, D. and Offer, Z.Y. (2009). A comprehensive method for aeolian particle granulometry and micromorphology analyses, *Environmental monitoring and assessment*, 155(1): 169-175.